

Eingabe: Farbmétrisches Reflexions-System NRS11

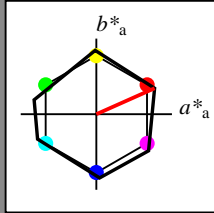
für Buntton $h^* = lab^*h = 24/360 = 0.067$

*LAB*LCH, LAB*NCH*

D65: Buntton R

LCH*Ma: 53 84 24

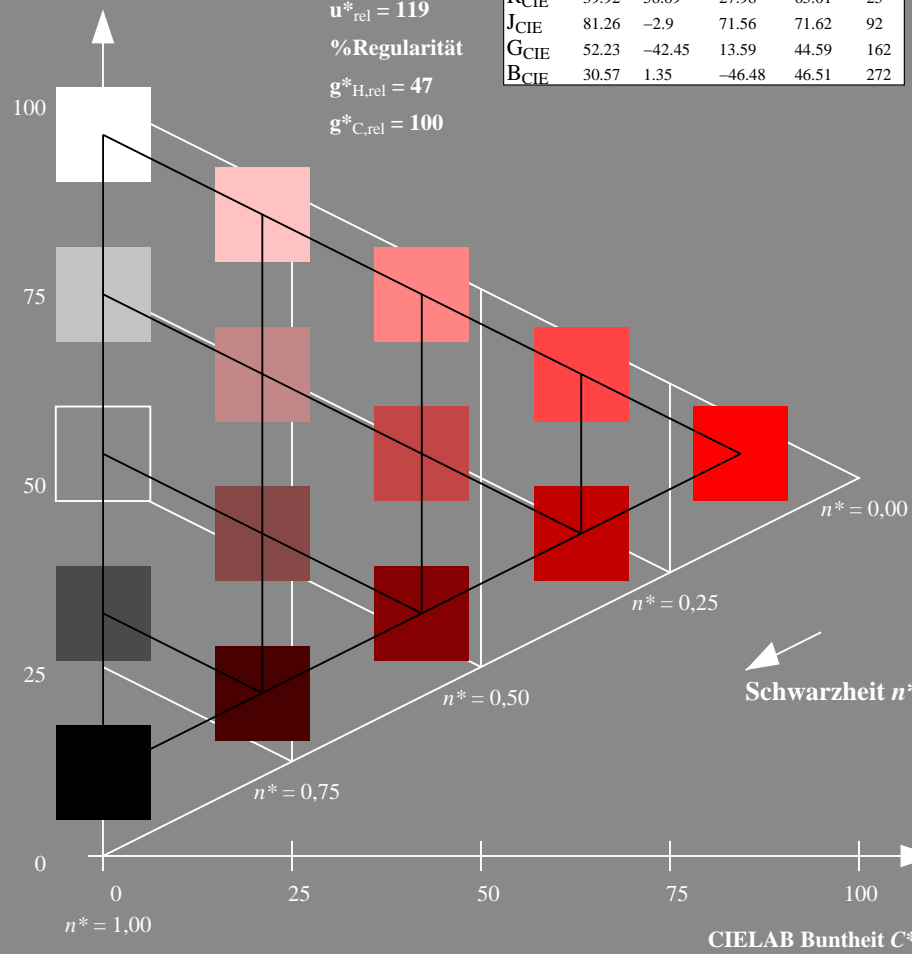
olv*Ma: 1.0 0.0 0.0

CIE LAB-Helligkeit L^*

%Umfang

$$\mathbf{u}_{\text{rel}}^* = 119$$

%Regularität

$$g^*_{H,rel} = 47$$
$$g^*_{C,rel} = 100$$


TG370–7, 5 stufige Reihen für konstanten CIELAB Buntton $24/360 = 0.067$ (links)

Ausgabe: Farbmétrisches Reflexions-System ORS18

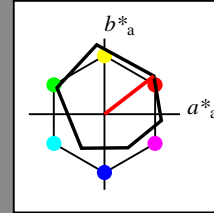
für Buntton $h^* = lab^*h = 38/360 = 0.105$

*LAB*LCH, LAB*NCH*

D65: Buntton O

LCH*Ma: 48 83 38

olv*Ma: 1.0 0.0 0.0

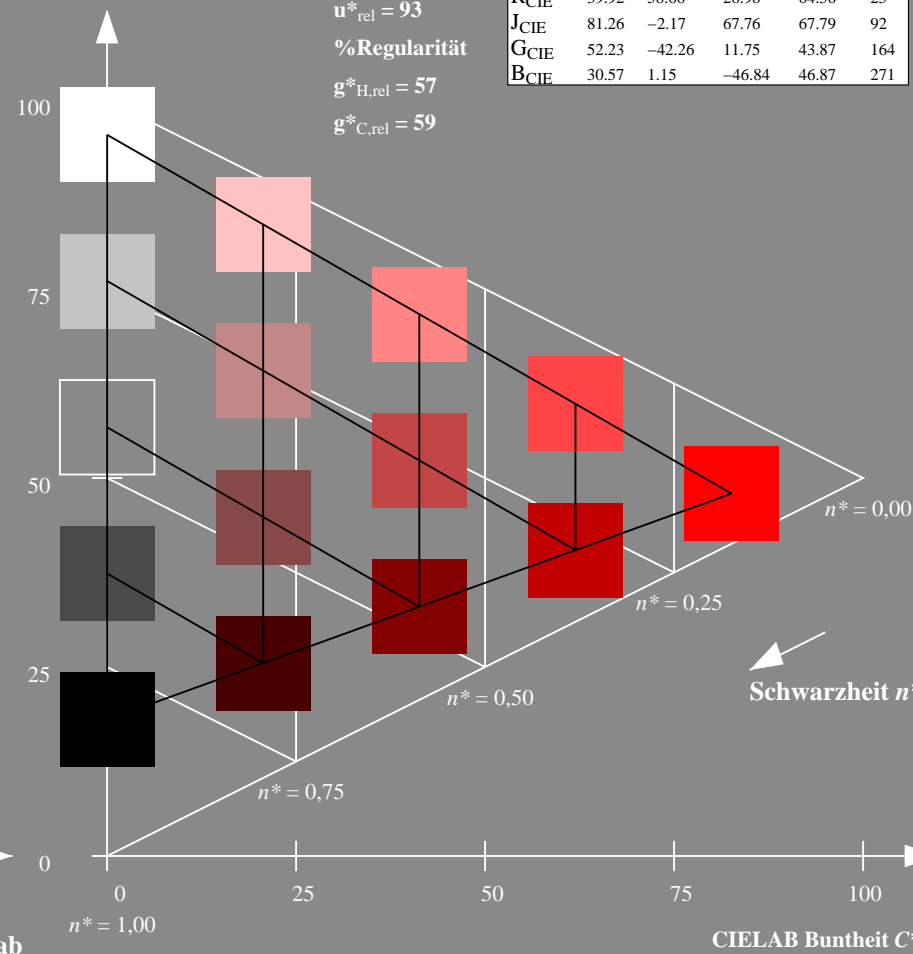


CIELAB-Helligkeit L^*

%Umfang

$$\mathbf{u}_{\text{rel}}^* = 93$$

%Regularität

$$g^*_{H,rel} = 57$$
$$g^*_{C,rel} = 59$$
5 stufige Reihen für konstanten CIELAB Buntton $38/360 = 0.105$ (rechts)

BAM-Prüfvorlage TG37; Farbmatrik-Systeme NRS11 & ORS18 input: *olv* setrgbcolor*

D65: Koordinaten-Systeme von 5stufigen Farbreihen für 10 Bunttöne: `olv* setrgbcolor / w* setgray`

Eingabe: Farbmétrisches Reflexions-System NRS11

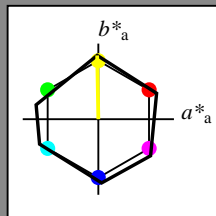
für Buntton $h^* = lab^*h = 91/360 = 0.253$

LAB*LCH, LAB*NCH

D65: Buntton J

LCH*Ma: 53 84 91

olv*Ma: 1.0 1.0 0.0



NRS11; adaptierte CIELAB-Daten					
	$L^*=L^*_a$	a^*_a	b^*_a	$C^*_{ab,a}$	$h^*_{ab,a}$
R _{Ma}	53.2	77.06	34.32	84.36	24
J _{Ma}	53.2	-1.51	84.38	84.39	91
G _{Ma}	53.2	-82.27	18.98	84.44	167
G50B _{Ma}	53.2	-77.72	-32.98	84.44	203
B _{Ma}	53.2	4.37	-84.28	84.41	273
B50R _{Ma}	53.2	69.09	-48.41	84.37	325
N _{Ma}	10.99	0.0	0.0	0.0	0
W _{Ma}	95.41	0.0	0.0	0.0	0
R _{CIE}	39.92	58.69	27.98	65.01	25
J _{CIE}	81.26	-2.9	71.56	71.62	92
G _{CIE}	52.23	-42.45	13.59	44.59	162
B _{CIE}	30.57	1.35	-46.48	46.51	272

CIELAB-Helligkeit L^*

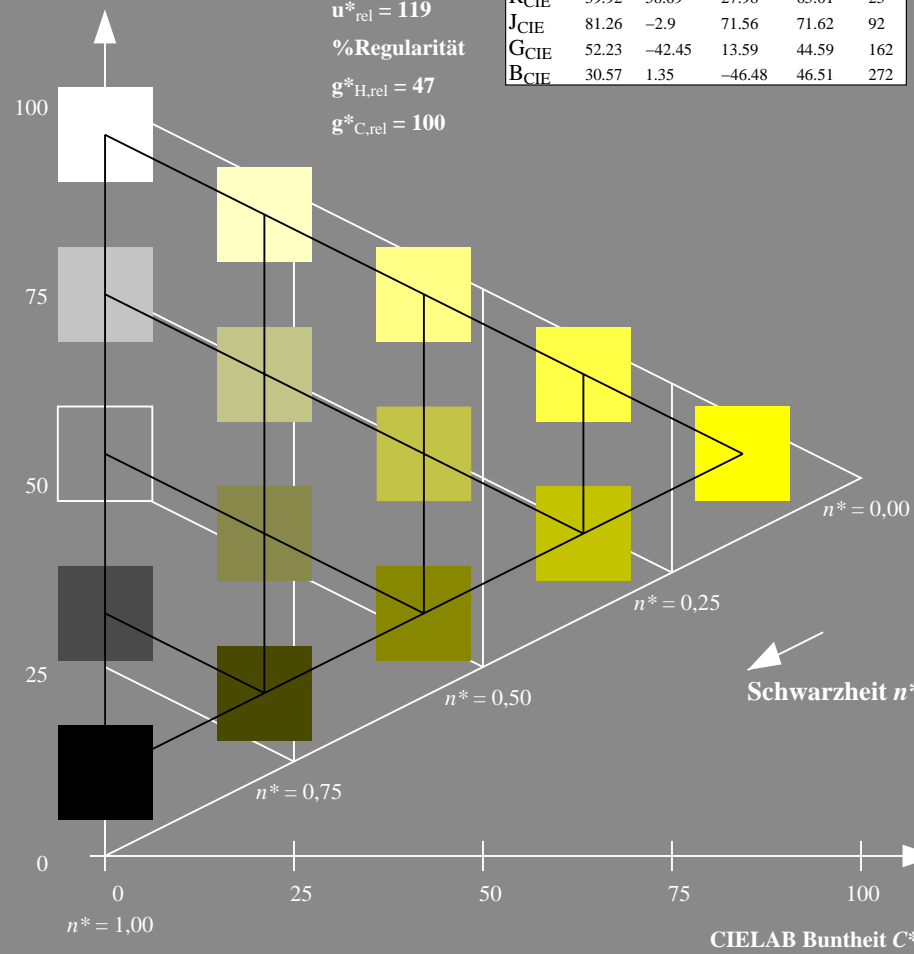
%Umfang

$u^*_{rel} = 119$

%Regularität

$g^*_{H,rel} = 47$

$g^*_{C,rel} = 100$



TG370-7, 5 stufige Reihen für konstanten CIELAB Buntton $91/360 = 0.253$ (links)

Ausgabe: Farbmétrisches Reflexions-System ORS18

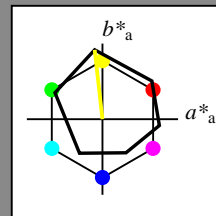
für Buntton $h^* = lab^*h = 96/360 = 0.268$

LAB*LCH, LAB*NCH

D65: Buntton Y

LCH*Ma: 90 92 96

olv*Ma: 1.0 1.0 0.0



ORS18; adaptierte CIELAB-Daten					
	$L^*=L^*_a$	a^*_a	b^*_a	$C^*_{ab,a}$	$h^*_{ab,a}$
O _{Ma}	47.94	65.37	50.52	82.62	38
Y _{Ma}	90.37	-10.27	91.77	92.34	96
L _{Ma}	50.9	-62.79	34.95	71.87	151
C _{Ma}	58.62	-30.35	-45.01	54.3	236
V _{Ma}	25.71	31.11	-44.42	54.24	305
M _{Ma}	48.13	75.27	-8.35	75.73	354
N _{Ma}	18.01	0.0	0.0	0.0	0
W _{Ma}	95.41	0.0	0.0	0.0	0
R _{CIE}	39.92	58.66	26.98	64.56	25
J _{CIE}	81.26	-2.17	67.76	67.79	92
G _{CIE}	52.23	-42.26	11.75	43.87	164
B _{CIE}	30.57	1.15	-46.84	46.87	271

CIELAB-Helligkeit L^*

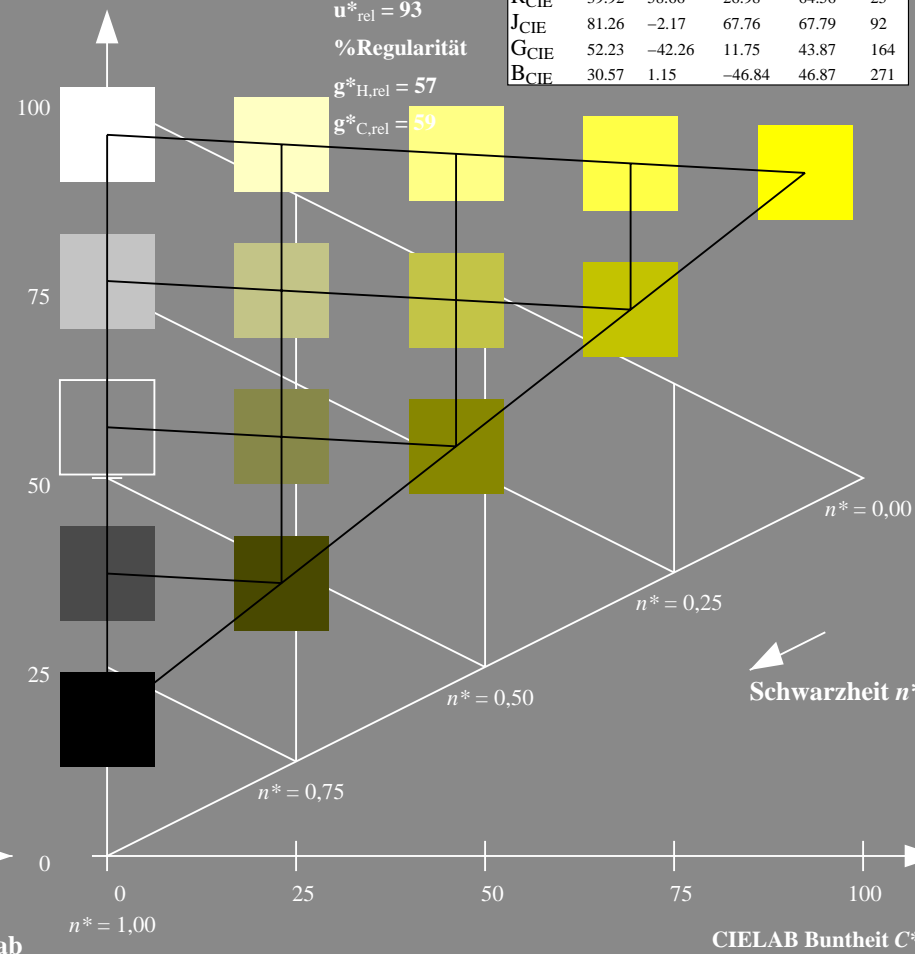
%Umfang

$u^*_{rel} = 93$

%Regularität

$g^*_{H,rel} = 57$

$g^*_{C,rel} = 59$



5 stufige Reihen für konstanten CIELAB Buntton $96/360 = 0.268$ (rechts)

BAM-Prüfvorlage TG37; Farbmétrik-Systeme NRS11 & ORS18 input: olv* setrgbcolor

D65: Koordinaten-Systeme von 5stufigen Farbreihen für 10 Bunttoninput: olv* setrgbcolor / w* setgray

Eingabe: Farbmimetrisches Reflexions-System NRS11

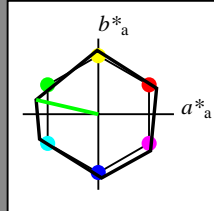
für Buntton $h^* = lab^*h = 167/360 = 0.464$

LAB*LCH, LAB*NCH

D65: Buntton G

LCH*Ma: 53 84 167

olv*Ma: 0.0 1.0 0.0



NRS11; adaptierte CIELAB-Daten

	$L^*=L_a^*$	a_a^*	b_a^*	$C_{ab,a}^*$	$h_{ab,a}^*$
R _{Ma}	53.2	77.06	34.32	84.36	24
J _{Ma}	53.2	-1.51	84.38	84.39	91
G _{Ma}	53.2	-82.27	18.98	84.44	167
G50B _{Ma}	53.2	-77.72	-32.98	84.44	203
B _{Ma}	53.2	4.37	-84.28	84.41	273
B50R _{Ma}	53.2	69.09	-48.41	84.37	325
N _{Ma}	10.99	0.0	0.0	0.0	0
W _{Ma}	95.41	0.0	0.0	0.0	0
R _{CIE}	39.92	58.69	27.98	65.01	25
J _{CIE}	81.26	-2.9	71.56	71.62	92
G _{CIE}	52.23	-42.45	13.59	44.59	162
B _{CIE}	30.57	1.35	-46.48	46.51	272

CIELAB-Helligkeit L^*

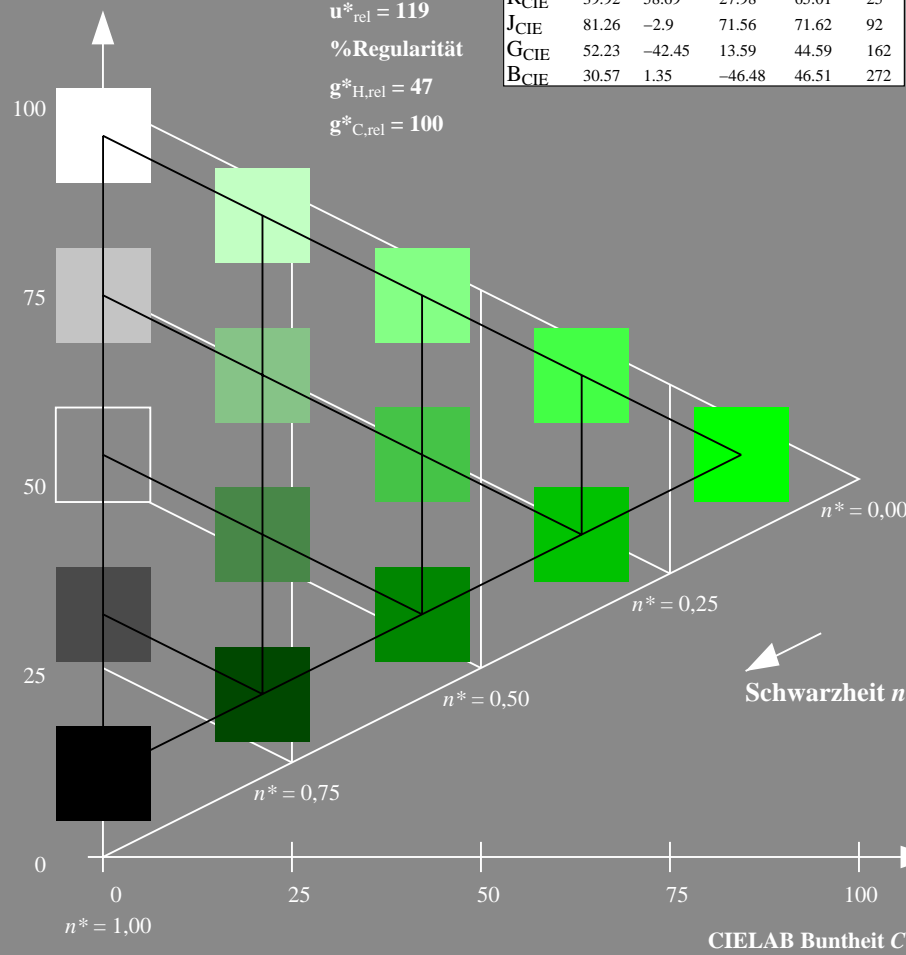
%Umfang

$u_{rel}^* = 119$

%Regularität

$g_{H,rel}^* = 47$

$g_{C,rel}^* = 100$



TG370-7, 5-stufige Reihen für konstanten CIELAB Buntton 167/360 = 0.464 (links)

Ausgabe: Farbmimetrisches Reflexions-System ORS18

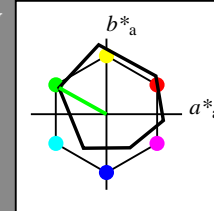
für Buntton $h^* = lab^*h = 151/360 = 0.419$

LAB*LCH, LAB*NCH

D65: Buntton L

LCH*Ma: 51 72 151

olv*Ma: 0.0 1.0 0.0



ORS18; adaptierte CIELAB-Daten

	$L^*=L_a^*$	a_a^*	b_a^*	$C_{ab,a}^*$	$h_{ab,a}^*$
O _{Ma}	47.94	65.37	50.52	82.62	38
Y _{Ma}	90.37	-10.27	91.77	92.34	96
L _{Ma}	50.9	-62.79	34.95	71.87	151
C _{Ma}	58.62	-30.35	-45.01	54.3	236
V _{Ma}	25.71	31.11	-44.42	54.24	305
M _{Ma}	48.13	75.27	-8.35	75.73	354
N _{Ma}	18.01	0.0	0.0	0.0	0
W _{Ma}	95.41	0.0	0.0	0.0	0
R _{CIE}	39.92	58.66	26.98	64.56	25
J _{CIE}	81.26	-2.17	67.76	67.79	92
G _{CIE}	52.23	-42.26	11.75	43.87	164
B _{CIE}	30.57	1.15	-46.84	46.87	271

CIELAB-Helligkeit L^*

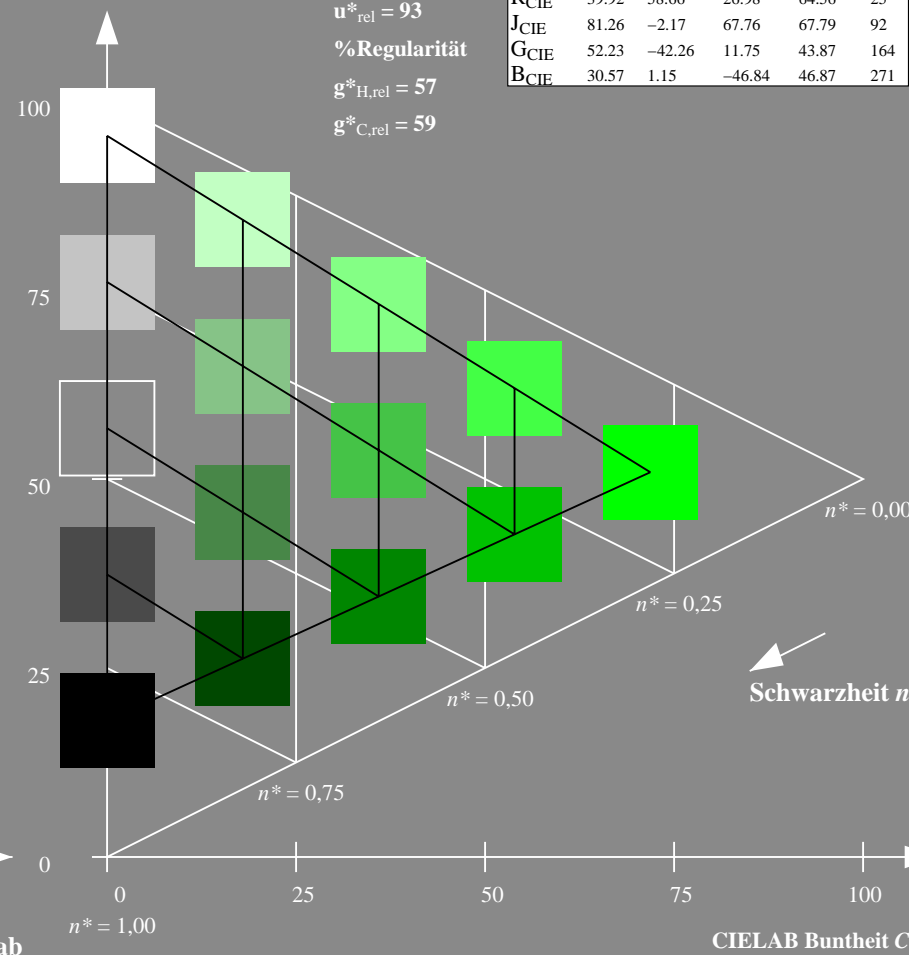
%Umfang

$u_{rel}^* = 93$

%Regularität

$g_{H,rel}^* = 57$

$g_{C,rel}^* = 59$



5-stufige Reihen für konstanten CIELAB Buntton 151/360 = 0.419 (rechts)

BAM-Prüfvorlage TG37; Farbmimetrische-Systeme NRS11 & ORS18 input: olv* setrgbcolor

D65: Koordinaten-Systeme von 5-stufigen Farbreihen für 10 Buntton input: olv* setrgbcolor / w* setgray

Eingabe: Farbmétrisches Reflexions-System NRS11

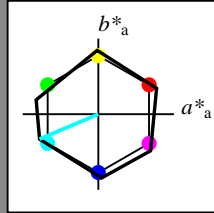
für Buntton $h^* = lab^*h = 203/360 = 0.564$

*LAB*LCH, LAB*NCH*

D65: Buntton G50B

LCH*Ma: 53 84 203

olv*Ma: 0.0 1.0 1.0

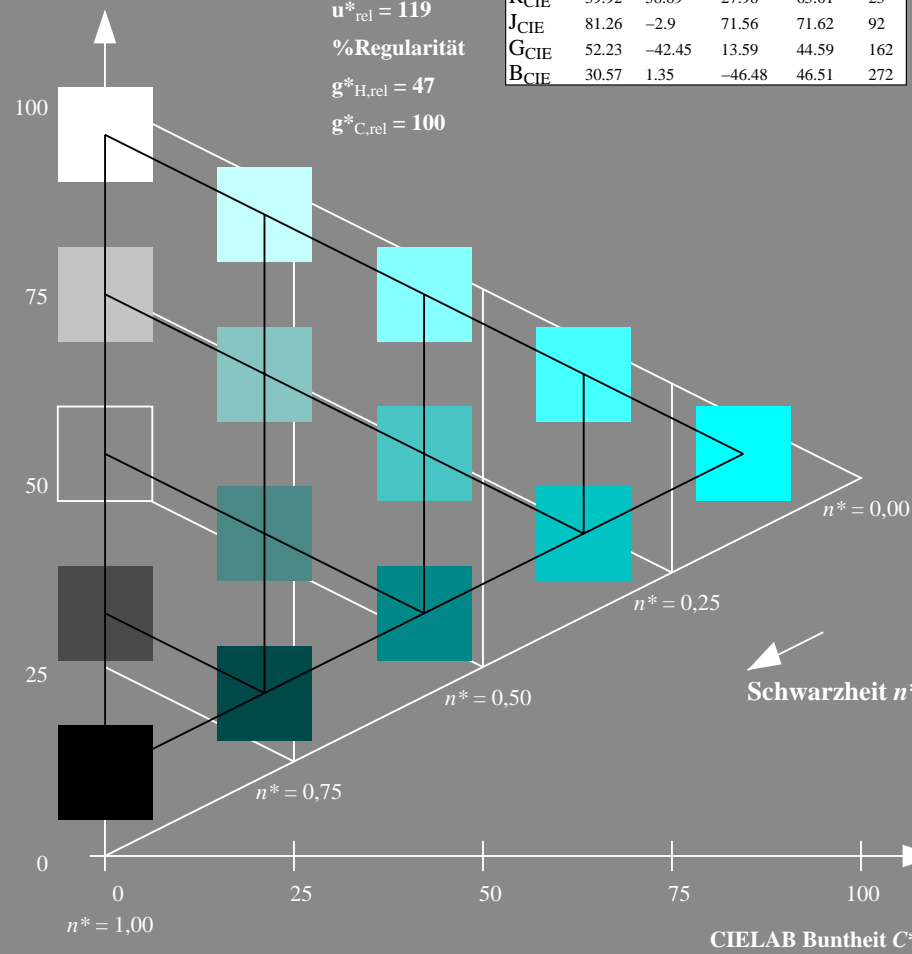


CIE LAB-Helligkeit L^*

%Umfang

$$\mathbf{u}_{\text{rel}}^* = 119$$

%Regularität

$$g^*_{H,rel} = 47$$
$$\mathbf{g}_{\text{C}_{\text{rel}}}^* = 100$$


TG370-7, 5 stufige Reihen für konstanten CIELAB Buntton 203/360 = 0.564 (links)

Ausgabe: Farbmetrisches Reflexions-System ORS18

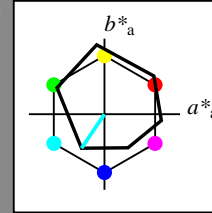
für Buntton $h^* = lab^*h = 236/360 = 0.656$

*LAB*LCH, LAB*NCH*

D65: Buntton C

LCH*Ma: 59 54 236

olv*Ma: 0.0 1.0 1.0

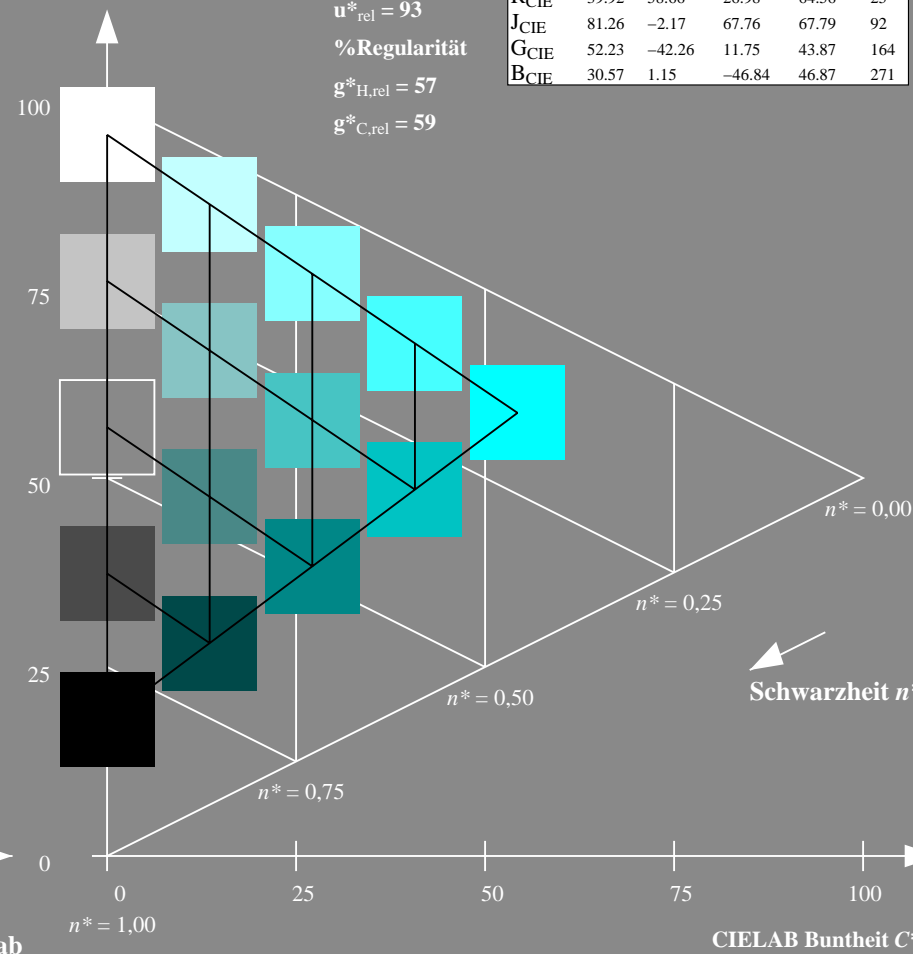


CIELAB-Helligkeit L^*

%Umfang

$$\mathbf{u}_{\text{rel}}^* = 93$$

%Regularität

$$g^*_{H,rel} = 57$$
$$g^*_{C_{rel}} = 59$$
5 stufige Reihen für konstanten CIELAB Buntton $236/360 = 0.656$ (rechts)

BAM-Prüfvorlage TG37; Farbmatrik-Systeme NRS11 & ORS18 input: *olv* setrgbcolor*

D65: Koordinaten-Systeme von 5stufigen Farbreihen für 10 Bunttöne: *olv* setrgbcolor / w* setgray*

Eingabe: Farbmimetrisches Reflexions-System NRS11

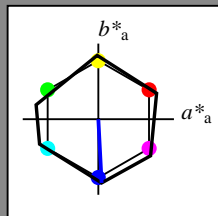
für Buntton $h^* = lab \cdot h = 273/360 = 0.758$

LAB*LCH, LAB*NCH

D65: Buntton B

LCH*Ma: 53 84 273

olv*Ma: 0.0 0.0 1.0



NRS11; adaptierte CIELAB-Daten					
	$L^*=L^*_a$	a^*_a	b^*_a	$C^*_{ab,a}$	$h^*_{ab,a}$
R _{Ma}	53.2	77.06	34.32	84.36	24
J _{Ma}	53.2	-1.51	84.38	84.39	91
G _{Ma}	53.2	-82.27	18.98	84.44	167
G50B _{Ma}	53.2	-77.72	-32.98	84.44	203
B _{Ma}	53.2	4.37	-84.28	84.41	273
B50R _{Ma}	53.2	69.09	-48.41	84.37	325
N _{Ma}	10.99	0.0	0.0	0.0	0
W _{Ma}	95.41	0.0	0.0	0.0	0
R _{CIE}	39.92	58.69	27.98	65.01	25
J _{CIE}	81.26	-2.9	71.56	71.62	92
G _{CIE}	52.23	-42.45	13.59	44.59	162
B _{CIE}	30.57	1.35	-46.48	46.51	272

CIELAB-Helligkeit L^*

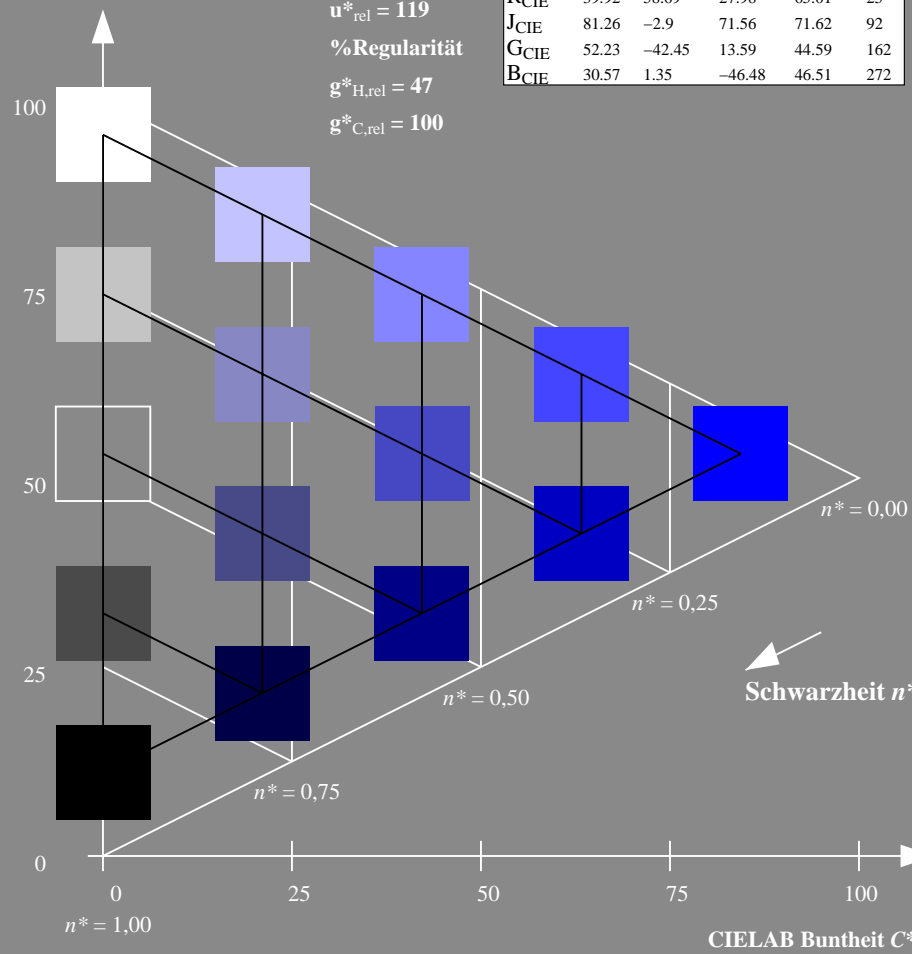
%Umfang

$u^*_{rel} = 119$

%Regularität

$g^*_{H,rel} = 47$

$g^*_{C,rel} = 100$



TG370-7, 5 stufige Reihen für konstanten CIELAB Buntton 273/360 = 0.758 (links)

Ausgabe: Farbmimetrisches Reflexions-System ORS18

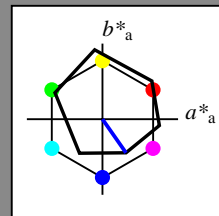
für Buntton $h^* = lab \cdot h = 305/360 = 0.847$

LAB*LCH, LAB*NCH

D65: Buntton V

LCH*Ma: 26 54 305

olv*Ma: 0.0 0.0 1.0



ORS18; adaptierte CIELAB-Daten					
	$L^*=L^*_a$	a^*_a	b^*_a	$C^*_{ab,a}$	$h^*_{ab,a}$
O _{Ma}	47.94	65.37	50.52	82.62	38
Y _{Ma}	90.37	-10.27	91.77	92.34	96
L _{Ma}	50.9	-62.79	34.95	71.87	151
C _{Ma}	58.62	-30.35	-45.01	54.3	236
V _{Ma}	25.71	31.11	-44.42	54.24	305
M _{Ma}	48.13	75.27	-8.35	75.73	354
N _{Ma}	18.01	0.0	0.0	0.0	0
W _{Ma}	95.41	0.0	0.0	0.0	0
R _{CIE}	39.92	58.66	26.98	64.56	25
J _{CIE}	81.26	-2.17	67.76	67.79	92
G _{CIE}	52.23	-42.26	11.75	43.87	164
B _{CIE}	30.57	1.15	-46.84	46.87	271

CIELAB-Helligkeit L^*

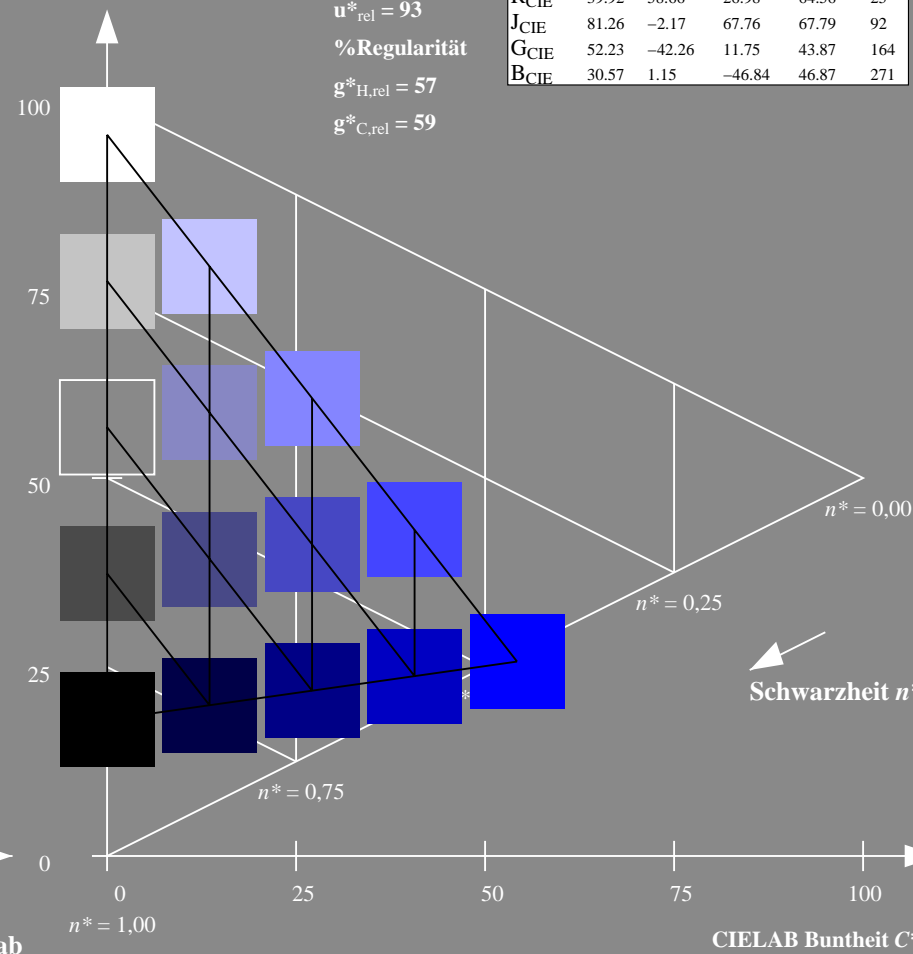
%Umfang

$u^*_{rel} = 93$

%Regularität

$g^*_{H,rel} = 57$

$g^*_{C,rel} = 59$



5 stufige Reihen für konstanten CIELAB Buntton 305/360 = 0.847 (rechts)

BAM-Prüfvorlage TG37; Farbmimetrische Systeme NRS11 & ORS18 input: olv* setrgbcolor

D65: Koordinaten-Systeme von 5stufigen Farbreihen für 10 Buntton input: olv* setrgbcolor / w* setgray

Eingabe: Farbmimetrisches Reflexions-System NRS11

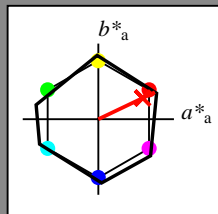
für Buntton $h^* = lab \cdot h = 25/360 = 0.071$

LAB*LCH, LAB*NCH

D65: Buntton R

LCH*Ma: 53 83 25

olv*Ma: 1.0 0.03 0.0



NRS11; adaptierte CIELAB-Daten					
	$L^*=L^*_a$	a^*_a	b^*_a	$C^*_{ab,a}$	$h^*_{ab,a}$
R _{Ma}	53.2	77.06	34.32	84.36	24
J _{Ma}	53.2	-1.51	84.38	84.39	91
G _{Ma}	53.2	-82.27	18.98	84.44	167
G50B _{Ma}	53.2	-77.72	-32.98	84.44	203
B _{Ma}	53.2	4.37	-84.28	84.41	273
B50R _{Ma}	53.2	69.09	-48.41	84.37	325
N _{Ma}	10.99	0.0	0.0	0.0	0
W _{Ma}	95.41	0.0	0.0	0.0	0
R _{CIE}	39.92	58.69	27.98	65.01	25
J _{CIE}	81.26	-2.9	71.56	71.62	92
G _{CIE}	52.23	-42.45	13.59	44.59	162
B _{CIE}	30.57	1.35	-46.48	46.51	272

CIELAB-Helligkeit L^*

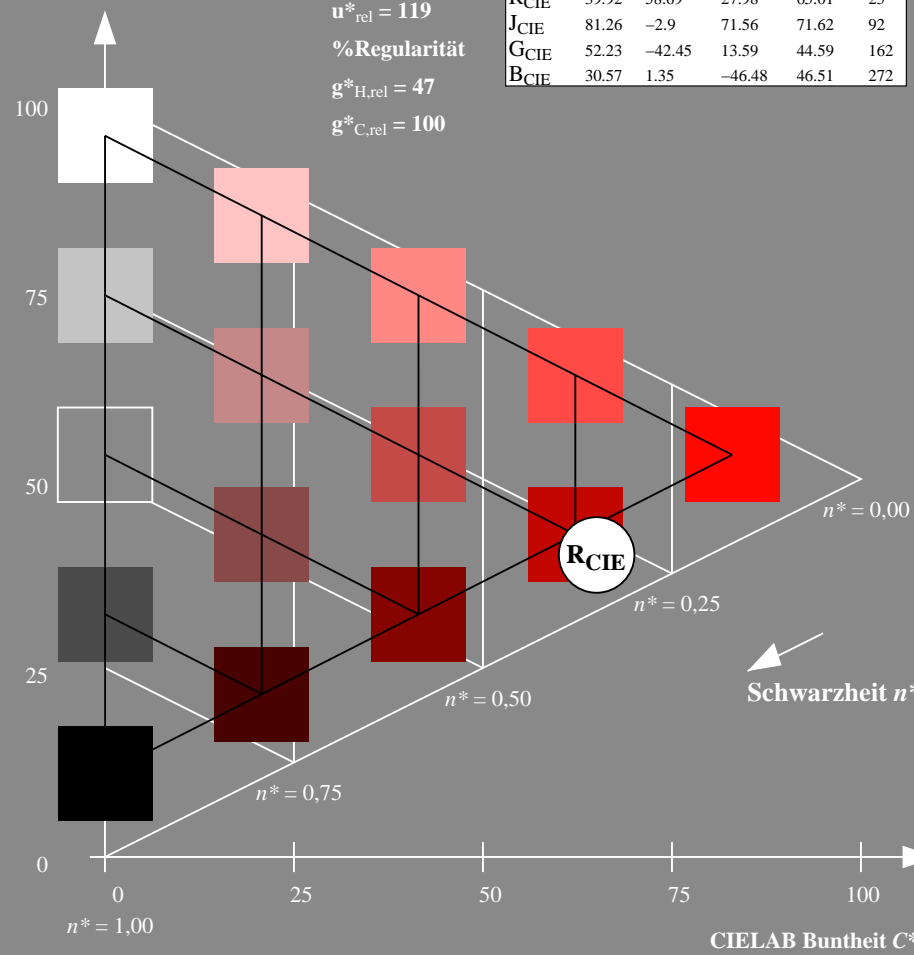
%Umfang

$u^*_{rel} = 119$

%Regularität

$g^*_{H,rel} = 47$

$g^*_{C,rel} = 100$



TG370-7, 5 stufige Reihen für konstanten CIELAB Buntton 25/360 = 0.071 (links)

Ausgabe: Farbmimetrisches Reflexions-System ORS18

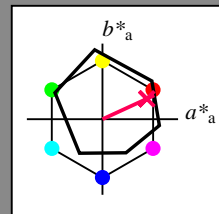
für Buntton $h^* = lab \cdot h = 25/360 = 0.069$

LAB*LCH, LAB*NCH

D65: Buntton R

LCH*Ma: 48 75 25

olv*Ma: 1.0 0.0 0.32



ORS18; adaptierte CIELAB-Daten					
	$L^*=L^*_a$	a^*_a	b^*_a	$C^*_{ab,a}$	$h^*_{ab,a}$
O _{Ma}	47.94	65.37	50.52	82.62	38
Y _{Ma}	90.37	-10.27	91.77	92.34	96
L _{Ma}	50.9	-62.79	34.95	71.87	151
C _{Ma}	58.62	-30.35	-45.01	54.3	236
V _{Ma}	25.71	31.11	-44.42	54.24	305
M _{Ma}	48.13	75.27	-8.35	75.73	354
N _{Ma}	18.01	0.0	0.0	0.0	0
W _{Ma}	95.41	0.0	0.0	0.0	0
R _{CIE}	39.92	58.66	26.98	64.56	25
J _{CIE}	81.26	-2.17	67.76	67.79	92
G _{CIE}	52.23	-42.26	11.75	43.87	164
B _{CIE}	30.57	1.15	-46.84	46.87	271

CIELAB-Helligkeit L^*

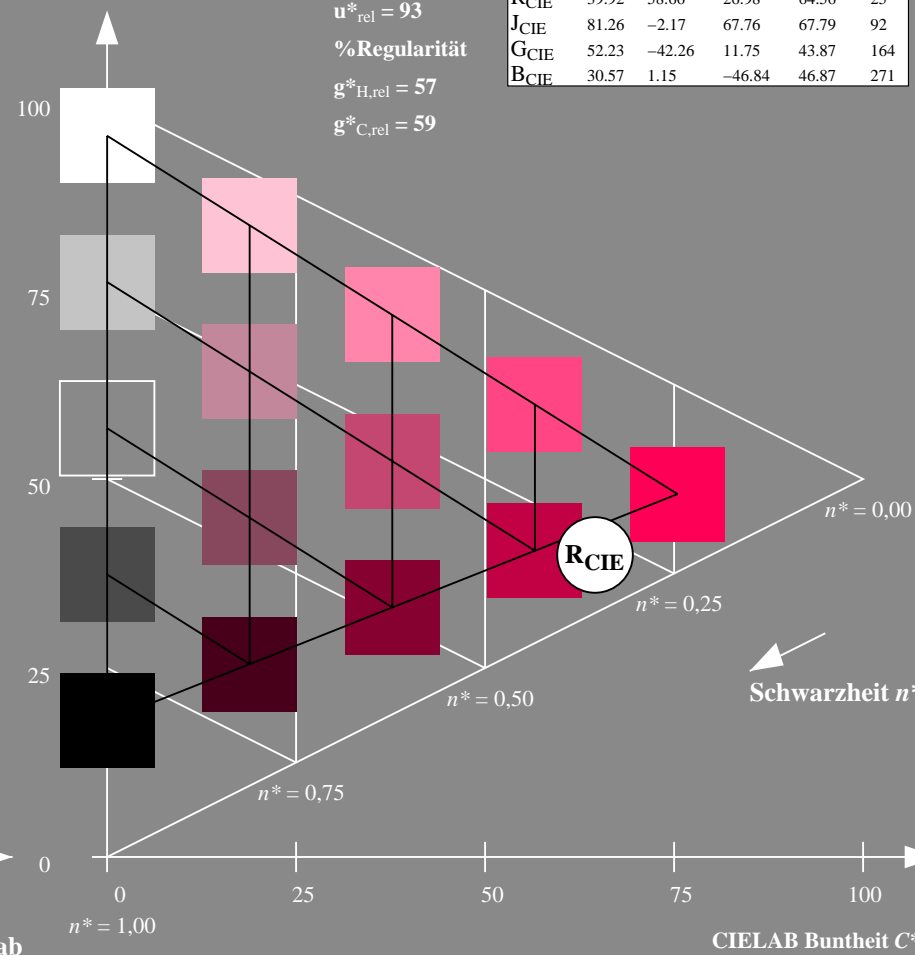
%Umfang

$u^*_{rel} = 93$

%Regularität

$g^*_{H,rel} = 57$

$g^*_{C,rel} = 59$



5 stufige Reihen für konstanten CIELAB Buntton 25/360 = 0.069 (rechts)

BAM-Prüfvorlage TG37; Farbmimetrische Systeme NRS11 & ORS18 input: olv* setrgbcolor

D65: Koordinaten-Systeme von 5stufigen Farbreihen für 10 Buntton input: olv* setrgbcolor / w* setgray

Eingabe: Farbmimetrisches Reflexions-System NRS11

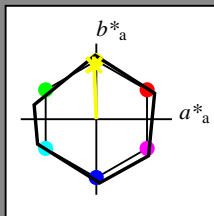
für Buntton $h^* = lab \cdot h = 92/360 = 0.256$

LAB*LCH, LAB*NCH

D65: Buntton J

LCH*Ma: 53 83 92

olv*Ma: 0.98 1.0 0.0



NRS11; adaptierte CIELAB-Daten

	$L^*=L^*_a$	a^*_a	b^*_a	$C^*_{ab,a}$	$h^*_{ab,a}$
R _{Ma}	53.2	77.06	34.32	84.36	24
J _{Ma}	53.2	-1.51	84.38	84.39	91
G _{Ma}	53.2	-82.27	18.98	84.44	167
G50B _{Ma}	53.2	-77.72	-32.98	84.44	203
B _{Ma}	53.2	4.37	-84.28	84.41	273
B50R _{Ma}	53.2	69.09	-48.41	84.37	325
N _{Ma}	10.99	0.0	0.0	0.0	0
W _{Ma}	95.41	0.0	0.0	0.0	0
R _{CIE}	39.92	58.69	27.98	65.01	25
J _{CIE}	81.26	-2.9	71.56	71.62	92
G _{CIE}	52.23	-42.45	13.59	44.59	162
B _{CIE}	30.57	1.35	-46.48	46.51	272

CIELAB-Helligkeit L^*

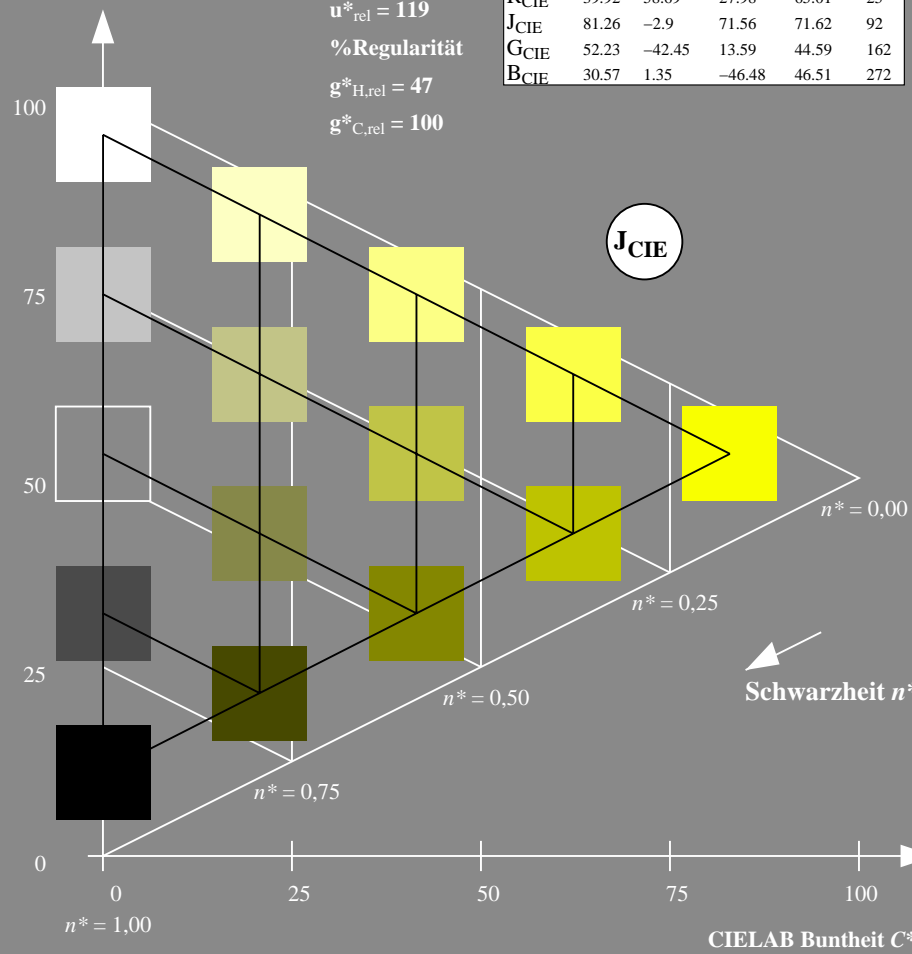
%Umfang

$u^*_{rel} = 119$

%Regularität

$g^*_{H,rel} = 47$

$g^*_{C,rel} = 100$



TG370-7, 5 stufige Reihen für konstanten CIELAB Buntton $92/360 = 0.256$ (links)

Ausgabe: Farbmimetrisches Reflexions-System ORS18

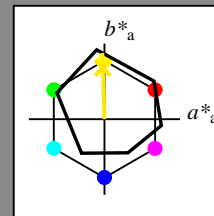
für Buntton $h^* = lab \cdot h = 92/360 = 0.255$

LAB*LCH, LAB*NCH

D65: Buntton J

LCH*Ma: 86 88 92

olv*Ma: 1.0 0.9 0.0



ORS18; adaptierte CIELAB-Daten

	$L^*=L^*_a$	a^*_a	b^*_a	$C^*_{ab,a}$	$h^*_{ab,a}$
O _{Ma}	47.94	65.37	50.52	82.62	38
Y _{Ma}	90.37	-10.27	91.77	92.34	96
L _{Ma}	50.9	-62.79	34.95	71.87	151
C _{Ma}	58.62	-30.35	-45.01	54.3	236
V _{Ma}	25.71	31.11	-44.42	54.24	305
M _{Ma}	48.13	75.27	-8.35	75.73	354
N _{Ma}	18.01	0.0	0.0	0.0	0
W _{Ma}	95.41	0.0	0.0	0.0	0
R _{CIE}	39.92	58.66	26.98	64.56	25
J _{CIE}	81.26	-2.17	67.76	67.79	92
G _{CIE}	52.23	-42.26	11.75	43.87	164
B _{CIE}	30.57	1.15	-46.84	46.87	271

CIELAB-Helligkeit L^*

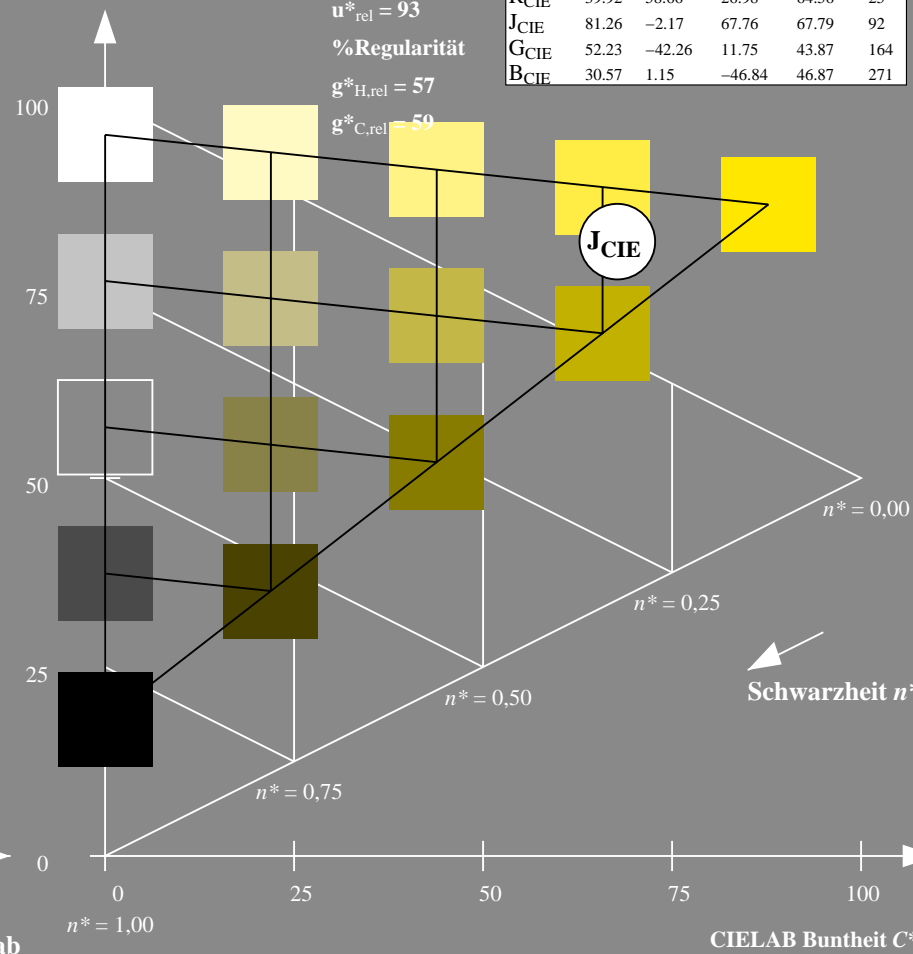
%Umfang

$u^*_{rel} = 93$

%Regularität

$g^*_{H,rel} = 57$

$g^*_{C,rel} = 59$



5 stufige Reihen für konstanten CIELAB Buntton $92/360 = 0.255$ (rechts)

BAM-Prüfvorlage TG37; Farbmimetrische Systeme NRS11 & ORS18 input: olv* setrgbcolor

D65: Koordinaten-Systeme von 5stufigen Farbreihen für 10 Bunttoninput: olv* setrgbcolor / w* setgray

Eingabe: Farbmimetrisches Reflexions-System NRS11

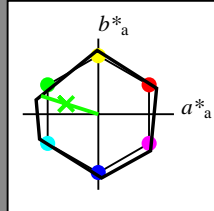
für Buntton $h^* = lab^*h = 162/360 = 0.451$

LAB*LCH, LAB*NCH

D65: Buntton G

LCH*Ma: 53 80 162

olv*Ma: 0.08 1.0 0.0



NRS11; adaptierte CIELAB-Daten

	$L^*=L^*_a$	a^*_a	b^*_a	$C^*_{ab,a}$	$h^*_{ab,a}$
R _{Ma}	53.2	77.06	34.32	84.36	24
J _{Ma}	53.2	-1.51	84.38	84.39	91
G _{Ma}	53.2	-82.27	18.98	84.44	167
G50B _{Ma}	53.2	-77.72	-32.98	84.44	203
B _{Ma}	53.2	4.37	-84.28	84.41	273
B50R _{Ma}	53.2	69.09	-48.41	84.37	325
N _{Ma}	10.99	0.0	0.0	0.0	0
W _{Ma}	95.41	0.0	0.0	0.0	0
R _{CIE}	39.92	58.69	27.98	65.01	25
J _{CIE}	81.26	-2.9	71.56	71.62	92
G _{CIE}	52.23	-42.45	13.59	44.59	162
B _{CIE}	30.57	1.35	-46.48	46.51	272

CIELAB-Helligkeit L^*

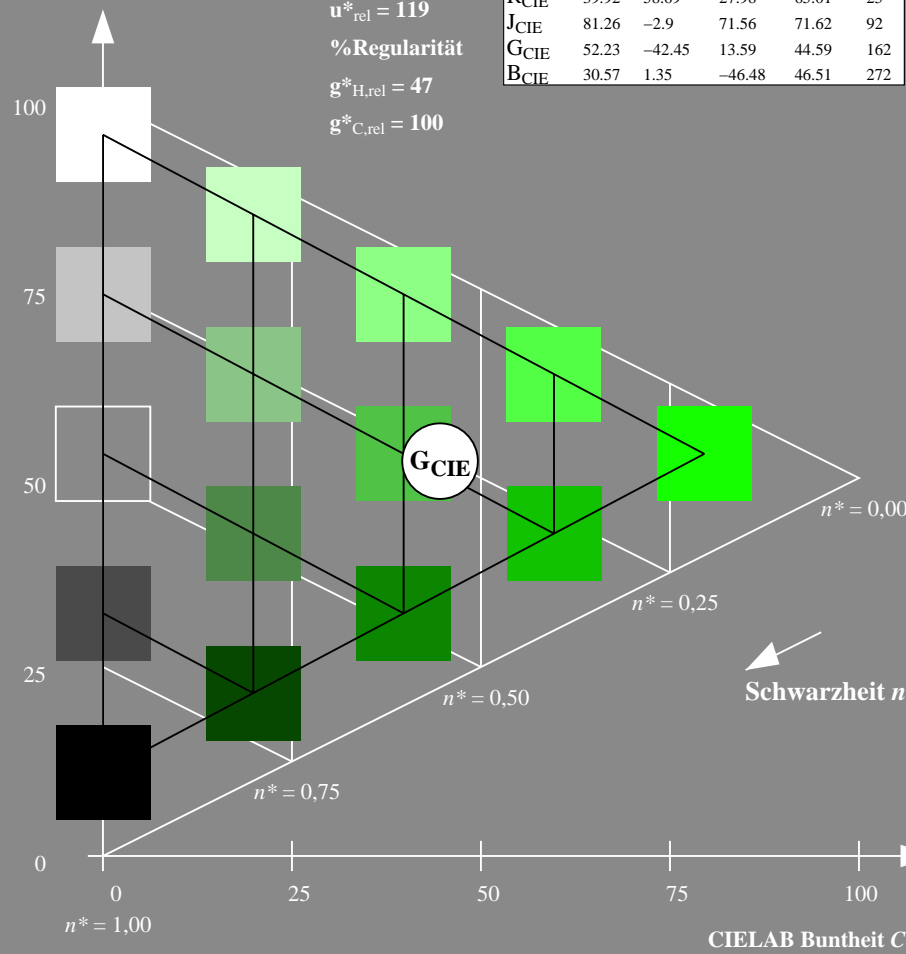
%Umfang

$u^*_{rel} = 119$

%Regularität

$g^*_{H,rel} = 47$

$g^*_{C,rel} = 100$



Ausgabe: Farbmimetrisches Reflexions-System ORS18

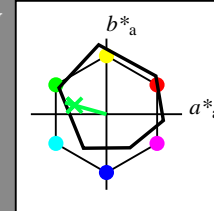
für Buntton $h^* = lab^*h = 164/360 = 0.457$

LAB*LCH, LAB*NCH

D65: Buntton G

LCH*Ma: 53 57 164

olv*Ma: 0.0 1.0 0.25



ORS18; adaptierte CIELAB-Daten

	$L^*=L^*_a$	a^*_a	b^*_a	$C^*_{ab,a}$	$h^*_{ab,a}$
O _{Ma}	47.94	65.37	50.52	82.62	38
Y _{Ma}	90.37	-10.27	91.77	92.34	96
L _{Ma}	50.9	-62.79	34.95	71.87	151
C _{Ma}	58.62	-30.35	-45.01	54.3	236
V _{Ma}	25.71	31.11	-44.42	54.24	305
M _{Ma}	48.13	75.27	-8.35	75.73	354
N _{Ma}	18.01	0.0	0.0	0.0	0
W _{Ma}	95.41	0.0	0.0	0.0	0
R _{CIE}	39.92	58.66	26.98	64.56	25
J _{CIE}	81.26	-2.17	67.76	67.79	92
G _{CIE}	52.23	-42.26	11.75	43.87	164
B _{CIE}	30.57	1.15	-46.84	46.87	271

CIELAB-Helligkeit L^*

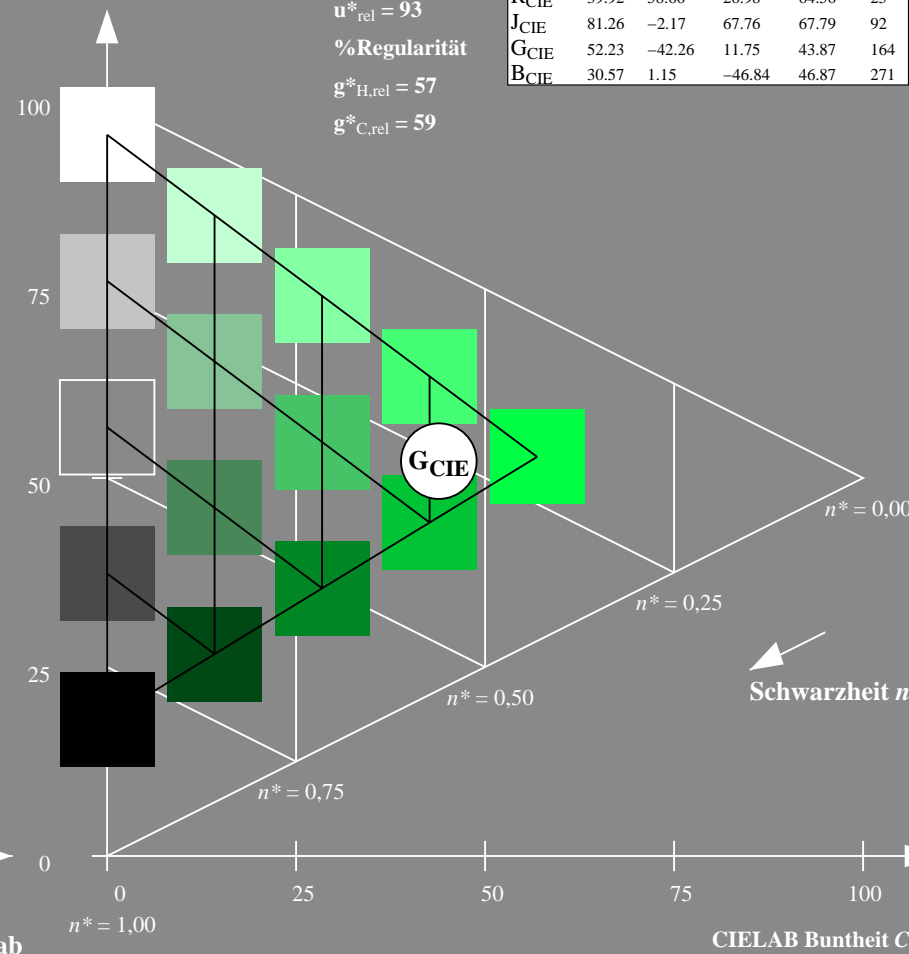
%Umfang

$u^*_{rel} = 93$

%Regularität

$g^*_{H,rel} = 57$

$g^*_{C,rel} = 59$



TG370-7, 5 stufige Reihen für konstanten CIELAB Buntton 162/360 = 0.451 (links)

5 stufige Reihen für konstanten CIELAB Buntton 164/360 = 0.457 (rechts)

BAM-Prüfvorlage TG37; Farbmimetrische-Systeme NRS11 & ORS18 input: olv* setrgbcolor

D65: Koordinaten-Systeme von 5stufigen Farbreihen für 10 Buntton input: olv* setrgbcolor / w* setgray

Eingabe: Farbmimetrisches Reflexions-System NRS11

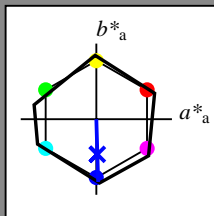
für Buntton $h^* = lab^*h = 272/360 = 0.755$

LAB*LCH, LAB*NCH

D65: Buntton B

LCH*Ma: 53 83 272

olv*Ma: 0.0 0.02 1.0



NRS11; adaptierte CIELAB-Daten

	$L^*=L_a^*$	a_a^*	b_a^*	$C_{ab,a}^*$	$h_{ab,a}^*$
R _{Ma}	53.2	77.06	34.32	84.36	24
J _{Ma}	53.2	-1.51	84.38	84.39	91
G _{Ma}	53.2	-82.27	18.98	84.44	167
G50B _{Ma}	53.2	-77.72	-32.98	84.44	203
B _{Ma}	53.2	4.37	-84.28	84.41	273
B50R _{Ma}	53.2	69.09	-48.41	84.37	325
N _{Ma}	10.99	0.0	0.0	0.0	0
W _{Ma}	95.41	0.0	0.0	0.0	0
R _{CIE}	39.92	58.69	27.98	65.01	25
J _{CIE}	81.26	-2.9	71.56	71.62	92
G _{CIE}	52.23	-42.45	13.59	44.59	162
B _{CIE}	30.57	1.35	-46.48	46.51	272

CIELAB-Helligkeit L^*

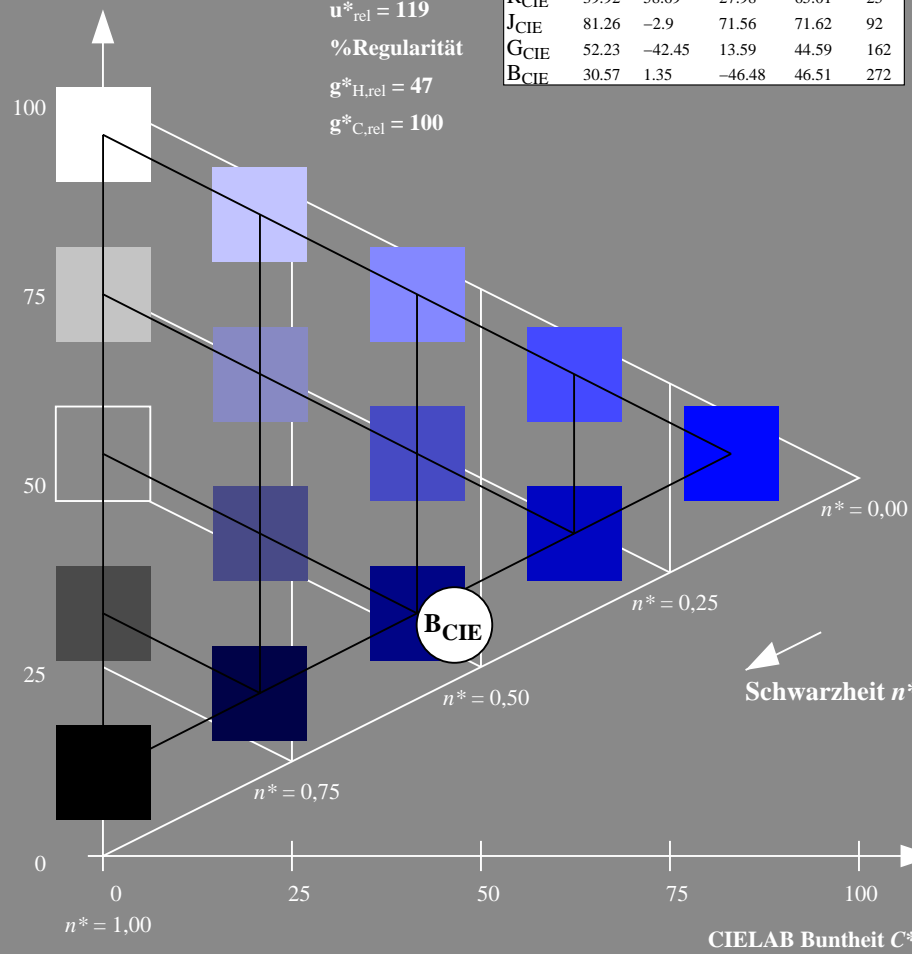
%Umfang

$u_{rel}^* = 119$

%Regularität

$g_{H,rel}^* = 47$

$g_{C,rel}^* = 100$



TG370-7, 5 stufige Reihen für konstanten CIELAB Buntton 272/360 = 0.755 (links)

Ausgabe: Farbmimetrisches Reflexions-System ORS18

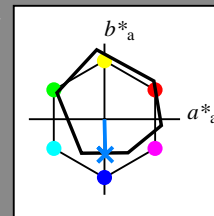
für Buntton $h^* = lab^*h = 271/360 = 0.754$

LAB*LCH, LAB*NCH

D65: Buntton B

LCH*Ma: 42 45 271

olv*Ma: 0.0 0.49 1.0



ORS18; adaptierte CIELAB-Daten

	$L^*=L_a^*$	a_a^*	b_a^*	$C_{ab,a}^*$	$h_{ab,a}^*$
O _{Ma}	47.94	65.37	50.52	82.62	38
Y _{Ma}	90.37	-10.27	91.77	92.34	96
L _{Ma}	50.9	-62.79	34.95	71.87	151
C _{Ma}	58.62	-30.35	-45.01	54.3	236
V _{Ma}	25.71	31.11	-44.42	54.24	305
M _{Ma}	48.13	75.27	-8.35	75.73	354
N _{Ma}	18.01	0.0	0.0	0.0	0
W _{Ma}	95.41	0.0	0.0	0.0	0
R _{CIE}	39.92	58.66	26.98	64.56	25
J _{CIE}	81.26	-2.17	67.76	67.79	92
G _{CIE}	52.23	-42.26	11.75	43.87	164
B _{CIE}	30.57	1.15	-46.84	46.87	271

CIELAB-Helligkeit L^*

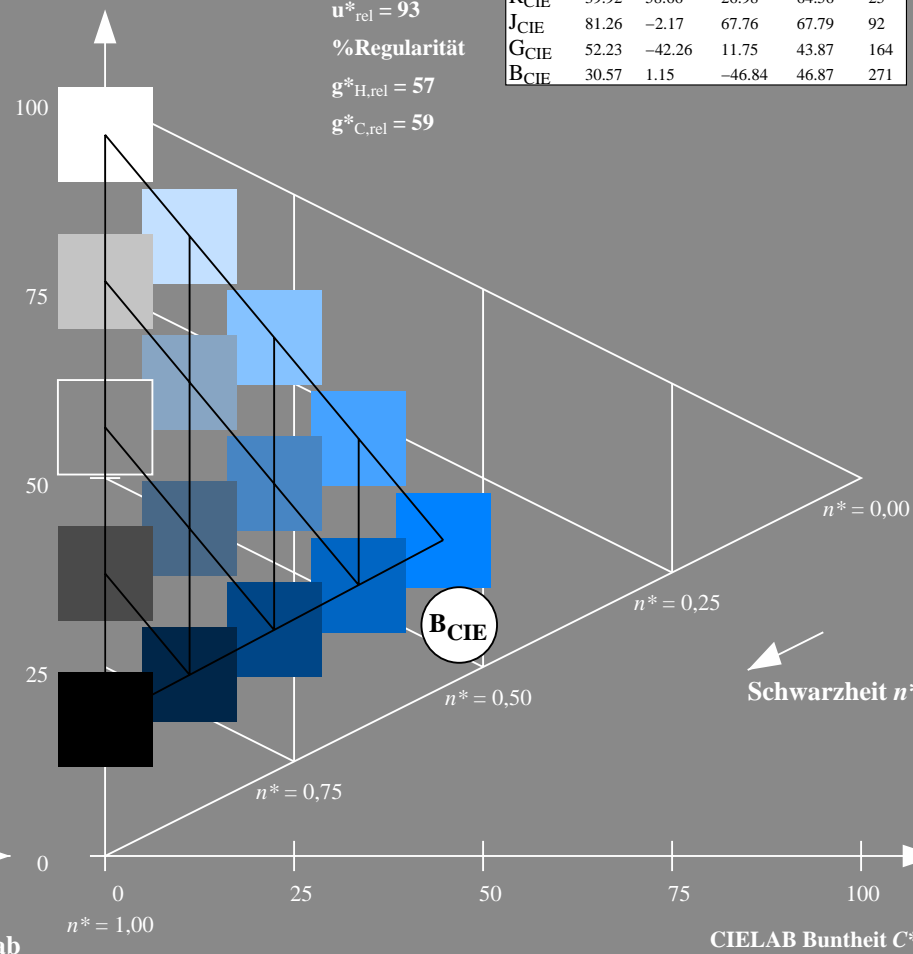
%Umfang

$u_{rel}^* = 93$

%Regularität

$g_{H,rel}^* = 57$

$g_{C,rel}^* = 59$



5 stufige Reihen für konstanten CIELAB Buntton 271/360 = 0.754 (rechts)

BAM-Prüfvorlage TG37; Farbmimetrische Systeme NRS11 & ORS18 input: olv* setrgbcolor

D65: Koordinaten-Systeme von 5stufigen Farbreihen für 10 Buntton input: olv* setrgbcolor / w* setgray